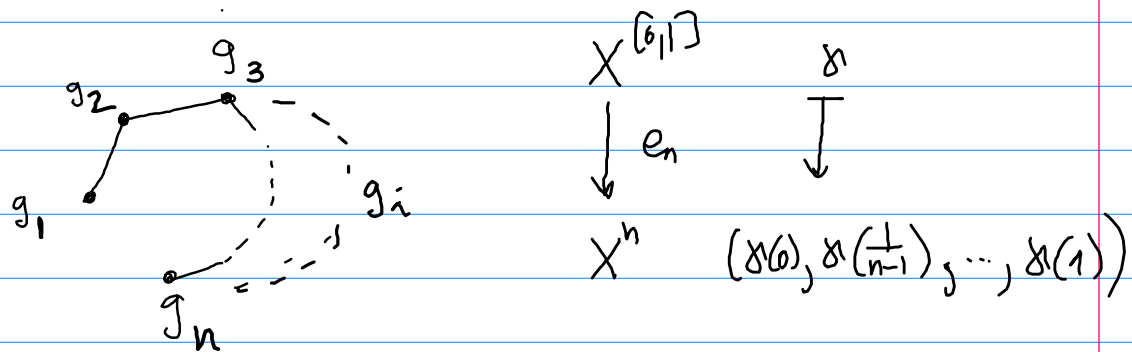


# Planeación matriz secuencial : $TC_n$

- Procesos de producción industrial
- Plantas de ensamblaje
- Distribución y reparto

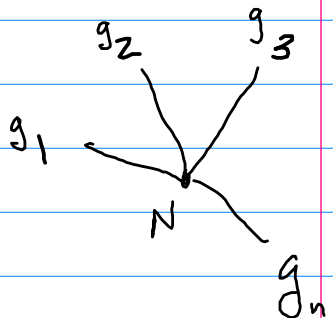


$$TC_n(X) = \secant(e_n)$$

Estrategia: planeación matriz con punto neutro  
 (ventajas en la versión simétrica)

Equivalentemente:

$$J_n = \bigvee_n [0,1]$$



Lema:

$$TC_n(X) = \text{secat} \left( \begin{array}{c} X^{\bar{J}_n} \\ \downarrow \\ X^n \end{array} \right)$$

Generaliza:

$$TC = TC_2$$

# $TC_n$ : propiedades y métodos computacionales

- Invariante homotópico

- Subaditivo en productos

$$TC_n(X \times Y) \leq TC_n(X) + TC_n(Y)$$

- Cotan (dimension, conectividad, ap-length)

$$(ex)^{h-1} \rightarrow X^{\bar{w}_n} \xrightarrow{\text{is}} X^n$$

$\swarrow$   $\searrow$

$X$   $d_n$

$$cl(d_n) =: zcl_n(x) \leq TC_n(x) \leq \frac{n \text{hdim}(x)}{\text{htann}(x)}$$

óptimos si  $X$  es  $H$  espacio

$$\text{cat}(x) \leq TC_2(x) \leq \text{cat}(xxx) \leq TC_3(x) \leq \text{cat}(x^3) \leq TC_4(x) \leq \dots$$

óptimo si  $X$  es variedad simplectica cerrada 1-conexa

$$\left( \text{cat}(x^{n-1}) = TC_n(x) \text{ pues } \begin{array}{ccc} x_0 & \xleftarrow{c} & x^{J_n} \\ \downarrow & & \downarrow \\ x^{n-1} & \xrightarrow{c} & x^n \end{array} \right)$$

Ejemplos:  $\text{TC}_n(S^k) \leq n$

- $\text{zcl}_n(X \times S^k) \geq \text{zcl}_n(X) + n - 1$

En efecto:  $v \in H^k(S^k)$  gen;  $v_i = 1 \otimes \dots \otimes 1 \otimes v \otimes 1 \otimes \dots \otimes 1$   
 $\Rightarrow v_i - v_1 \in \ker d_n^*$  con  $(v_2 - v_1) \dots (v_n - v_1) = v_2 \dots v_n + \dots \neq 0$

Así que si  $\text{zcl}_n(X) = m$   
con  $u_1, \dots, u_m \in H^n(X^n)$ ,  $u_1 \dots u_m \neq 0$   
 $u_i|_{\Delta} = 0$

$$\nexists u_1 \dots u_m (v_2 - v_1) \dots (v_n - v_1) \neq 0 \in H^n((X \times S^k)^n)$$

Ejemplos :

- $\text{zcl}_n(X \times S^k) \geq \text{zcl}_n(X) + n - 1$

sobra si  $k$  es par  
y  $H^k(x)$  es sin torsión

En efecto :

$$v_1 + \dots + v_{n-1} - (n-1)v_n \in \ker d_n^k \quad \text{tiene}$$

$$(v_1 + \dots + v_{n-1} - (n-1)v_n)^n = \text{múltiplo no cero de } v_1 \dots v_n$$

Proposición:  $\text{TC}_n(S^{n_1} \times \dots \times S^{n_r}) = r(n-1) + e$   
donde  $e = \#$  de esferas de dim par  
En particular, para un brazo mecánico con  
 $K$  goznes libres  $\text{TC}_n = \begin{cases} K(n-1) & \text{caso plano} \\ kn & \text{caso espacial} \end{cases}$

Demostración: Basta ver  $TG_n(S^k) = n-1$  si  $k$  es impar

$$(S^k)^{J_n} \xrightarrow{\epsilon_n} (S^k)^n \quad \text{sección no continua}$$

$$s(x_1, \dots, x_n) = (g(x_1, x_1), g(x_1, x_2), \dots, g(x_1, x_n))$$

$g(x, y) = \text{geodésica de } x \text{ a } y \quad \left( \begin{array}{l} \text{saliendo en la dirección de} \\ \text{un campo tangente } t \text{ si } y = -x \end{array} \right)$

- Continua en cada estrato  $M_i - M_{i-1}$  de  $M_0 \subset \dots \subset M_{n-1}$   
 $M_i = \{(x_1, \dots, x_n) : \text{a lo mas } i \text{ igualdades } x_i = -x_1\}$
- Cada estrato  $M_i - M_{i-1}$  es subvariiedad  
 $\therefore S|_{M_i - M_{i-1}}$  determina una sección en una vecindad tubular de  $M_i - M_{i-1}$

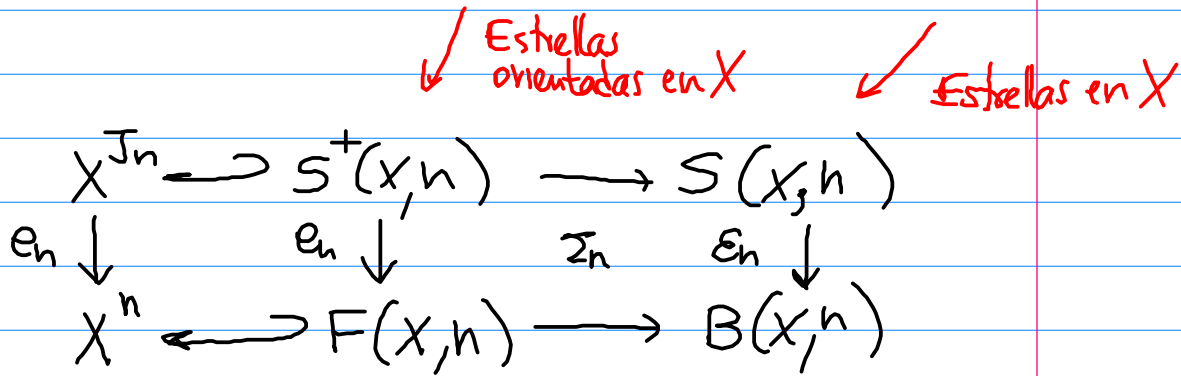
Problema: Calcular / Relacionar.  $TC_n(X)$  para otras familias de espacios.  
(sesión 5...)

Otros ejemplos

- $TC_n(M^{2m}) = mn$   
↑ variedad cerrada simplectica 1-conexa
- $TC_n(\mathbb{H}P^m) = nm$

# Eficiencia en la planeación motriz secuencial

- Estados parciales todos distintos
- No hay orden preferido en los estados parciales



$$TC_n^S(X) = \secat(E_n)$$

Nótese que:

$$TC_1^S(X) = \cancel{ab(6)} \rightarrow 0$$
$$TC_2^S(X) = TC^S(X) - 1$$

# Motivación

Teorema (Smale)

$$\text{gen} \left( \begin{array}{c} F(\mathbb{R}^n) \\ \downarrow \\ B(\mathbb{R}^n) \end{array} \right) \Leftarrow$$

complejidad computacional de algoritmos que aproximan las raíces de polinomios complejos de grado  $n$

Ingrediente clave : Topología (homotopía) de  $B(\mathbb{R}^n)$   
(Fuchs, Cohen, Vassiliev, DeConcini-Procesi-Salvetti)

En nuestro caso :

—————

$B(X_n)$

(topología poco conocida  
 $X = \text{variedad}$ )

Cotas en el caso de Smale :

- $n - \alpha_p(n) \leq \text{secat}(\mathbb{F}(\mathbb{R}^2, n) \xrightarrow{\pi_n^2} B(\mathbb{R}^2, n)) \leq n - 1$   
    ↑  
    Vassiliev  
    ↑  
     $\text{hdim}(B(\mathbb{R}^2, n)) = n - 1$
- $\text{secat}(\pi_n^2) = n - 1$  si  $n$  es potencia de un primo
- $\text{secat}(\pi_6^2) = 4$  (DeConcini - Procesi - Salvetti)
- $\text{secat}(\pi_n^2) < n - 1$  si  $n \neq 2^e p^e$  con  $e \leq 1$

→ Se requiere aun mucha info sobre  $B(\mathbb{R}^2, n)$  ...

Caso de secat ( $S(X, n) \xrightarrow{\pi_n^X} B(X, n)$ ) :=  $sc(X, n)$

- $sc(X, n) = 0$  si  $X$  es contráctil

$TC_n^S(X)$

$\overset{P}{\underset{S}{\underset{n}{\text{TC}}}}(X)$

$$\begin{array}{ccccc} X^{J_h} & \xleftrightarrow{H} & S^+(X, n) & \longrightarrow & S(X, n) \\ \downarrow & & \downarrow & & \downarrow \\ X^n & \longrightarrow & F(X, n) & \longrightarrow & B(X, n) \end{array}$$

- Siguiente caso:  $X = S^k$

Teorema (Basabe - G - Rudyak - Tamaki, 2012)

$$hdim(F(S^k, n)) = hdim(B(S^k, n)) = (n-1)(k-1) + 1$$

Corolario  $sc(s^k, n) \leq n-1 - \frac{n-2}{k}$  ( $n \geq 2$ )

Optimo para:

- $sc(s^k, 2) = TC^s(s^k) - 1 = 1$  (Farber-Grant)
- $sc(s^l, n) = 1$  (Basabe-G-Rudyak-Tamaki)
- $sc(s^k, 3) = 1$  for  $k \neq 4 \cdot 3^e$ ,  $e \geq 0$   
(Karasev-Landweber)

Métodos geométricos (cotas inferiores) ...

- El primer caso fue discutido en la sesión del Lunes
- El segundo caso y parte del tercer caso usa:

Lema:  $\text{sc}(S^k, n) > 0$  si  $k$  es impar y  $n \geq 2$ .

Demostración

$$\begin{array}{ccccc}
 (S^k)^{J_n} & \xrightarrow{\quad} & S^+(S^k, n) & \longrightarrow & S(S^k, n) \\
 \downarrow & & \downarrow & \nearrow \sigma & \downarrow s \\
 (S^k)^n & \hookrightarrow & F(S^k, n) & \longrightarrow & B(S^k, n)
 \end{array}$$

$S^k \xrightarrow{x \mapsto (x, zx, z^2x, \dots, z^{n-1}x)}$

$z = n\text{-ésima raíz primitiva de } 1.$   
 $s = \text{levanta mi ento } \mathbb{Z}_n \text{-equivariante}$   
de  $S$

Considerese la composición

$$c: S^k \longrightarrow (S^k)^{J_n}$$

$$x \longmapsto (c_j(x))_{j=1, \dots, n}$$

$$\begin{aligned} c_j(x) : [0, 1] &\longrightarrow S^k \\ 0 &\longrightarrow s(x) \\ 1 &\longrightarrow z^{j-1}x \end{aligned}$$

$\Sigma_n$ -equivaravancia de  $\sigma$  implica  $c_{j+1}(x) = c_j(zx)$

$$\begin{aligned} x &\rightarrow (x, zx, \dots, z^{n-1}x) \xrightarrow{\sigma} (c_1(x), \dots, c_n(x)) \\ z \cdot x &\rightarrow (zx, z^2x, \dots, z^nx) \xrightarrow{\sigma} (c_1(zx), \dots, c_n(zx)) \end{aligned}$$

En particular  $\delta(zx) = c_0(zx)(0) = c_1(x)(0) = \delta(x)$

ce

$$\begin{array}{ccc} S^k & \xrightarrow{\delta} & S^k \\ \downarrow & & \uparrow \delta' \\ L^k(z_n) & & \end{array}$$

∴  $\text{gr}(\delta)$  es múltiplo de  $n$ . Sin embargo se tiene

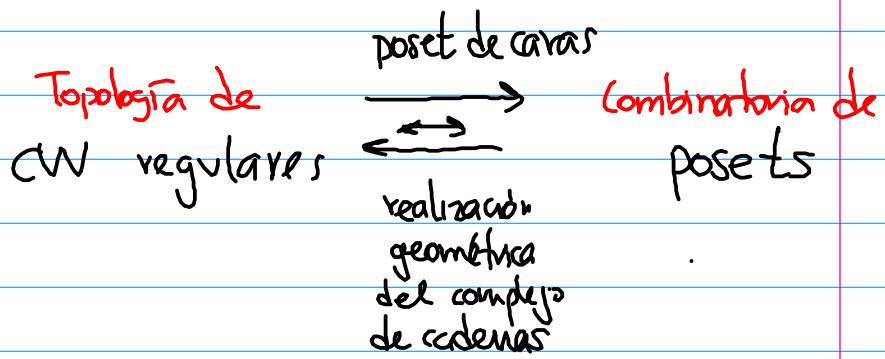
$$H: S^k \times [0,1] \longrightarrow S^k$$
$$(x,t) \longmapsto c_i(x)(t)$$

$$\left. \begin{array}{l} H(x,0) = \delta(x) \\ H(x,1) = x \end{array} \right\} \Rightarrow \text{gr}(\delta) = 1$$

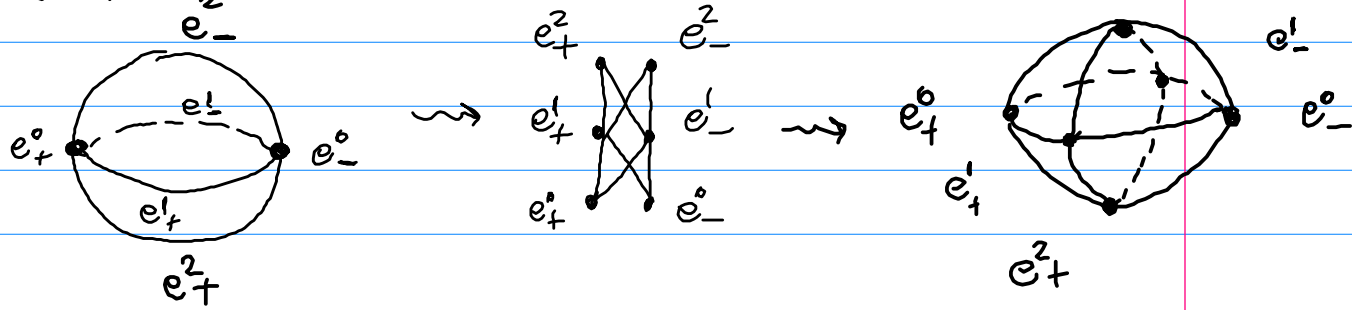


Retomemos la dim de  $F(S^k/n)$  &  $B(S^k/n)$ , el ingrediente inicial para  $SC(S^k/n)$ .

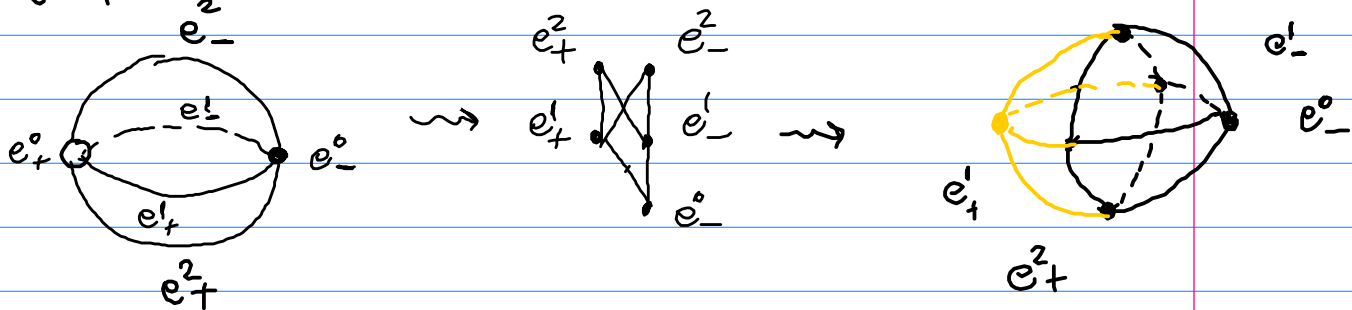
Motivación :



Ejemplo 1 :



Ejemplo 2:  $S^2 - e_+^0$



No recuperamos el tipo de homeomorfismo, pero si el tipo de homotopía

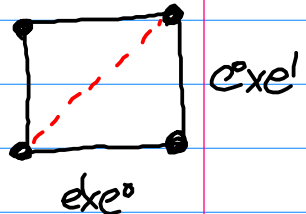
Teorema (Basabe - G - Rudyak - Tamaki, 2012)

Para espacios celularmente estratificados con propiedades de normalidad adeuada, la realización geométrica del poset de caras es un retrato por def. fuerte funtorial

Ejemplo: Explicación combinatoria de  $F(S'_1, 2) \xrightarrow{\sim} S'$

$$S' = \text{C}_\bullet = e^0 \cup e^1$$

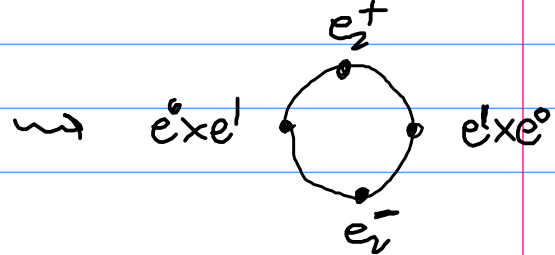
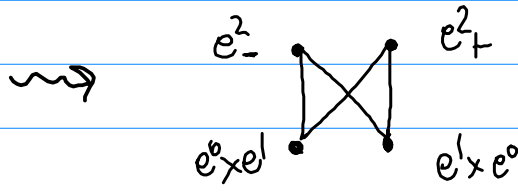
$$S' \times S' = e^0 \times e^0 \cup e^0 \times e^1 \cup e^1 \times e^0 \cup e^1 \times e^1 =$$



diagonal no es subcomplejo .... subdividimos

$$S' \times S' = e^0 \times e^0 \cup e^0 \times e^1 \cup e^1 \times e^0 \cup e_+^1 \cup e_+^2 \cup e_-^2$$

$$F(S'_1, 2) = e^0 \times e^1 \cup e^1 \times e^0 \cup e_+^2 \cup e_-^2 =$$



Caso general :  $F(S^k, n)$

$$S^k = e^0 \cup e^k$$
$$(S^k)^n = \bigcup e^{i_0} \times \dots \times e^{i_n} \quad i_j \in \{0, k\}$$

- Celdas relevantes para  $F(S^k, n)$  : a b mas un  $i_j = 0$
- Resto de las celdas :

- subdividirlas con la "diag. gorda" como subcomplejo
- tomar la realización geom. del poset de caras
- contar la dimensión.

después de quitar  
la "diagonal gorda"

Concretamente : en cada celda  $e^k \times \dots \times e^k \cong (\mathbb{R}^k)^n$   
usamos la subdivisión dada por la  $k$ -ésima ester-  
tificación de Björner-Ziegler (que da lugar a un  
modelo homotípico óptimo para  $F(\mathbb{R}^k, n)$ ).

Ingredientes de la construcción:

Para  $1 \leq i < j \leq n$ :  $l_{ij}: \mathbb{R}^n \rightarrow \mathbb{R}$ ,  $(x_1, \dots, x_n) \mapsto x_i - x_j$ .  
empaquetadas en  $L: \mathbb{R}^n \rightarrow \mathbb{R}^g$

$\text{sgn} : \mathbb{R}^k \rightarrow S_k$  función signo

$$\text{sgn } (x_1, \dots, x_k) = \begin{cases} \text{sgn}(x_1)e_1 & \text{si } x_1 \neq 0 = x_2 = \dots = x_k \\ 0 & \text{si } x_1 = 0 \end{cases}$$

$$bz: (\mathbb{R}^k)^n = M_{nk}(\mathbb{R}) \xrightarrow{Lc} M_{gk}(\mathbb{R}) \xrightarrow{\text{sgn}_f} (S_k)^g$$

$$n \left\{ \underbrace{\begin{bmatrix} | & | & | & | \end{bmatrix}}_k \right\} \rightarrow g \left\{ \underbrace{\begin{bmatrix} | & | & | & | \end{bmatrix}}_k \right\}$$

$$\Rightarrow (\mathbb{R}^k)^n = \coprod_{s \in \text{Im}(bz)} b_z^{-1}(s)$$

- Cada estrato es una celda abierta, (está determinado por igualdades y desigualdades lineales)
- La diagonal gorda en  $(\mathbb{R}^k)^n$  es la unión de aquellas celdas que incluyen un cero en su etiqueta :

$$\begin{bmatrix} \dots & x_1 & \dots \\ \dots & x_n & \dots \end{bmatrix} \rightarrow \begin{bmatrix} x_{i1} - x_{j1} & \dots & x_{ik} - x_{jk} \end{bmatrix} \leftarrow "i < j"$$

C Etiqueta cero en la posición " $i < j$ " si  
 $x_{i1} = x_{j1} \wedge \dots \wedge x_{ik} = x_{jk}$  (e)  $x_i = x_j$

Def

$$\Sigma_n^k = \text{estratificación en } F(\mathbb{R}_{+n}^k) = (\mathbb{R}^k)^n - \Delta$$

Cor  $BF(\Sigma_n^k) \hookrightarrow F(\mathbb{R}_{+n}^k)$

$$\cong \\ \Sigma_n$$

Lema (Concini-Salvetti, 2000)

$$\dim BF(\Sigma_n^k) = (n-1)(k-1)$$

es la cadena más larga de celdas en  $BF(\Sigma_n^k)$   
(necesariamente consecutivas) tiene longitud

$$(n-1)(k-1)$$

Demostración de  $\text{hdim}(F(S^k, n)) = \text{hdim}(B(S^k, n)) = (n-1)(k-1) + 1$

$$F(S^k, n) = e^k x \dots \times e^k \perp\!\!\!\perp e^k x \dots \times e^k x \dots \times e^k$$

subdividido con la estratificación de Björner-Ziegler  
(quitando diagonales gordas).

Análisis de cadenas más largas :

$$\begin{array}{ccccccc} nK & \xrightarrow{\hspace{1cm}} & (n-1)K & & & \uparrow & \text{max long possible :} \\ \vdots & & \vdots & & & & nK - n - k + 2 = \\ nK - (n-1)(k-1) & & (n-1)K - (n-2)(k-1) & & & & (n-1)(k-1) + 1 \\ = n+k-1 & & = n+k-2 & \xrightarrow{\hspace{1cm}} & & \downarrow & [\text{opt. por } H^{dk}] \end{array}$$